

является стационарным пульсирующим режимом, при котором из-за ограниченных размеров фронта основные пульсации носят вырожденный одномерный характер. Получено хорошее соответствие расчетных параметров процесса с экспериментом. Особо следует отметить, что при одних и тех же начальных условиях давление во фронте галопирующей детонации на отдельных участках движения оказывается в несколько раз больше, чем давление во фронте обычной волны Чепмена — Жуге.

Поступила в редакцию  
19/III 1980

#### ЛИТЕРАТУРА

1. A. J. Mooradian, W. E. Gordon. *J. Chem. Phys.*, 1951, 19, 3.
2. R. E. Duff, H. T. Knight, H. R. Wright. *J. Chem. Phys.*, 1954, 22, 9.
3. H. J. Michels, G. Munday, R. W. Ubbelohde. *Proc. Roy. Soc.*, 1970, A319, 1539.
4. N. Manson, C. Brochet et al. 9-th Symp. (Intern.) on Combustion. New York, 1963.
5. J. P. Saint-Cloud, Cl. Guerraud et al. *Acta Astr.*, 1972, 17.
6. В. Ю. Ульяницкий. ФГВ, 1980, 16, 3.
7. В. Ю. Ульяницкий. ФГВ, 1980, 16, 4.
8. А. А. Васильев, Ю. А. Николаев. ФГВ, 1976, 12, 5.
9. Р. И. Соловухин. Методы измерений и основные результаты исследований на ударных трубах. Новосибирск, Наука, 1969.

#### ОПЛАВЛЕНИЕ ВБЛИЗИ ТОЧКИ КОНТАКТА ПРИ КОСОМ СОУДАРЕНИИ ПЛАСТИН

*M. C. Качан*  
(Новосибирск)

При высокоскоростном косом соударении пластин происходят сложные механические и тепловые явления, механизм которых пока нельзя считать выясненным до конца. Некоторые существенные его детали анализируются в [1, 2], где, в частности, предложены модели описания явления волнообразования и обсуждаются связанные с ним особенности тепловыделения. Специально тепловому режиму шва посвящены экспериментальные исследования [3, 4] и теоретические оценки [5—8]. Соответствующая задача Стефана для модели плоского соударения и динамика межфазной границы рассчитаны в [9]. Настоящая работа, не претендующая на полное описание, имеет целью дать расчет более близкой к реальности модели тепловых процессов вблизи контактной поверхности

с учетом косого (под углом  $\gamma$ ) характера соударения, когда точка контакта перемещается с конечной скоростью  $v$  (рис. 1). Хотя явление волнообразования остается вне рамок этой модели, она является следующим по сложности этапом по сравнению с рассматривавшимися ранее.

Полагается, что наличие зазора существенно не сказывается на тепловом

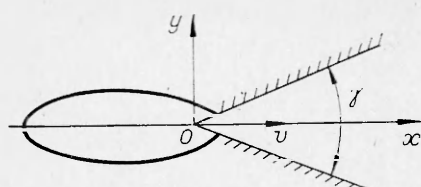


Рис. 1.

режиме. Термогравитационной конвекцией в зоне расплава (обозначенной на рис. 1 контуром), играющей большую роль в металлургических задачах, при импульсной сварке можно пренебречь. В силу малости размера оплавленной зоны ( $\sim 10^{-3}$  см) числа Грасгофа, характеризующие возможность возникновения конвекции, много меньше единицы, а время развития конвекции на два порядка больше времени затвердевания ( $\sim 10^{-5}$  с). Поэтому в качестве следующей по сложности модели можно выбрать непрерывно действующий источник тепла (в точке контакта  $O$ ), движущийся в среде с постоянной скоростью  $v$ .

Удобно перейти в систему координат, движущуюся с источником, тогда получим стационарную двумерную задачу теплопроводности

$$a(\partial^2 T / \partial x^2 + \partial^2 T / \partial y^2) + v \cdot \partial T / \partial x = 0,$$

где  $a$  — коэффициент температуропроводности;  $T$  — температура. Фундаментальное решение этого уравнения описывает поле от источника, помещенного в начале координат [10], и имеет вид

$$T = Qv/2\pi\lambda \exp(-vx/2a) K_0(rv/2a), \quad r^2 = x^2 + y^2,$$

где  $K_0$  — функция Бесселя мнимого аргумента с особенностью в начале координат;  $\lambda$  — коэффициент теплопроводности;  $Q$  — количество тепла, приходящегося на единицу площади поверхности контакта. По условиям задачи можно определить масштаб длины

$$\delta = 1/2 \cdot Q/[L\rho + c\rho(T_* - T_0)],$$

где  $\rho$  — плотность;  $c$  — теплоемкость;  $L$  — теплота фазового перехода;  $T_*$  — температура плавления;  $T_0$  — температура среды на бесконечности, и диффузионный масштаб  $a/v$ . Отношение этих масштабов составляет критерий Пекле  $Pe = v\delta/a$ , который можно также интерпретировать как безразмерную скорость источника.

Поскольку в начале координат фундаментальное решение дает бесконечную температуру, то изотерма  $T = T_*$  будет замкнутой кривой, ограничивающей область расплава вблизи начала координат. Уравнение этой кривой можно получить, пользуясь методом источников. Поток вещества через элемент ее длины равен  $-\rho v dy$ , оплавление в лобовой части приводит к стоку тепла с мощностью  $-Lvdy$ , а в кормовой части затвердевание реализует такой же мощности источник. Удобно использовать полярную систему координат:  $x = r \cos \varphi$ ,  $y = r \sin \varphi$ ,  $dy = (r' \sin \varphi + r \cos \varphi)d\varphi$ ,  $r' = dr/d\varphi$ . Тогда суммарное температурное поле дается выражением

$$T - T_0 = \frac{Qv}{2\pi\lambda} \exp\left(-\frac{vr \cos \varphi}{2a}\right) K_0\left(\frac{vr}{2a}\right) - \frac{L\rho v}{2\pi\lambda} \int_0^{2\pi} \exp\left[-\frac{v}{2a}(r \cos \varphi - r_1 \cos \varphi_1)\right] \times \\ \times (r'_1 \sin \varphi_1 + r_1 \cos \varphi_1) K_0\left(\frac{v}{2a} \sqrt{(r \cos \varphi - r_1 \cos \varphi_1)^2 + (r \sin \varphi - r_1 \sin \varphi_1)^2}\right) d\varphi_1,$$

где интеграл берется по межфазной границе  $r_1 = r(\varphi_1)$ . Полагая  $T = T_*$  и переходя к безразмерным переменным  $r \rightarrow r/\delta$  (обозначение оставим прежнее),  $q = L/[L + c(T_* - T_0)]$ , получим уравнение для фазового фронта

$$\pi(1 - q) = Pe \exp\left(-\frac{Pe r \cos \varphi}{2}\right) K_0\left(\frac{Pe r}{2}\right) - \\ - \frac{q Pe}{2} \int_0^{2\pi} (r'_1 \sin \varphi_1 + r_1 \cos \varphi_1) \exp\left[-\frac{Pe}{2}(r \cos \varphi - r_1 \cos \varphi_1)\right] \times \\ \times K_0\left(\frac{Pe}{2} \sqrt{(r \cos \varphi - r_1 \cos \varphi_1)^2 + (r \sin \varphi - r_1 \sin \varphi_1)^2}\right) d\varphi_1. \quad (1)$$

Когда  $\text{Pe} \rightarrow \infty$ , задача редуцируется к случаю плоского соударения [9]. При  $q = 0$  это можно показать аналитически. Уравнение (1) тогда переходит в следующее:

$$\frac{\pi}{\text{Pe}} = \exp(-\text{Pe}x/2)K_0(\text{Pe} \cdot r/2). \quad (2)$$

Рассмотрим сначала лобовую точку ( $x = r$ ). Так как  $K_0(z)e^{-z}$  — монотонно убывающая функция, то при  $\text{Pe} \rightarrow \infty$  и  $z \rightarrow \infty$ . Но при больших  $z$  асимптотически справедливо  $K_0(z) = \sqrt{\pi/(2z)}e^{-z}$ , поэтому  $z$  растет примерно как  $\ln \text{Pe}$  и, следовательно,  $x \sim \frac{1}{\text{Pe}} \ln \text{Pe} \rightarrow 0$ . Таким образом, лобовая точка стремится к началу координат. Для кормовой точки ( $x = -r$ ) асимптотические оценки тем более справедливы, и из них следует  $r \approx \text{Pe}/\pi$ , т. е. кормовая точка удалается от источника, стремясь к бесконечности. Область расплава приобретает все более вытянутый характер, причем поперечные размеры ее остаются ограниченными. Значит, почти во всех точках границы асимптотически  $|y| \ll x$ . Полагая  $r = \sqrt{x^2 + y^2} \simeq \sqrt{-x[1 + y^2/(2x^2)]}$ , получим для кормовой зоны

$$\frac{\pi}{\text{Pe}} = \sqrt{\pi \left[ \text{Pe}x \left( 1 + \frac{y^2}{2x^2} \right) \right]} \exp\left(-\frac{\text{Pe}}{4} \frac{y^2}{|x|}\right).$$

Пренебрегая величиной  $y^2/(2x^2)$  под корнем, будем иметь  $y^2 = 2|x|/\text{Pe} \cdot \ln(\text{Pe}/\pi|x|)$ . В неподвижной системе координат  $|x| = \text{Pe}t$  получаем уравнение  $y^2 = 2t \ln(1/(\pi t))$ , описывающее динамику межфазной границы при плоском соударении [9].

В реальных ситуациях величина  $\text{Pe}$  весьма велика. При скорости контакта  $v = 3 \cdot 10^3$  м/с и параметрах, соответствующих экспериментам [3],  $\text{Pe} \approx 6 \cdot 10^3$ . Поэтому все результаты, полученные в рамках модели плоского соударения, для времен оплавления и затвердевания и ширины оплавленной зоны достаточно точны.

Окрестность точки контакта и особенно ее лобовая часть принципиально не может быть описана в рамках модели плоского соударения, а информация о том, в каких условиях, и в частности тепловых, происходит соударение, весьма важна для понимания общей картины формирования сварного шва.

При  $q = 0$  фазовую границу можно описать параметрически, исходя из уравнения (2),

$$x = \frac{2}{\text{Pe}} \ln \left[ \frac{\text{Pe}}{\pi} K_0\left(\frac{\text{Pe}r}{2}\right) \right], \quad y = \sqrt{r^2 - x^2}.$$

При малых  $\text{Pe}$  капля расплава почти сферична, а ее радиус  $r \rightarrow 0$  при  $\text{Pe} \rightarrow 0$ . Это связано с тем, что мощность источника  $Qv$  убывает. Сводные зависимости характерных величин от числа  $\text{Pe}$  даны на рис. 2 (1 и 4 — расстояние соответственно от кормовой и лобовой точек до источника, 3 — значения  $y_{\max}$ , 2 — модули абсцисс  $|x^*|$  точек, отвечающих  $y_{\max}$  ( $|x^*|/\text{Pe}$  — время оплавления)). Размер лобовой части оплавленной зоны (перед точкой контакта) имеет максимум при  $\text{Pe} \approx \pi$ . При малых  $\text{Pe}$  кривые 1, 3, 4 сливаются, что соответствует сферичности капли.

При  $q \neq 0$  фазовая граница  $r(\varphi)$  находится как решение нелинейного интегрального уравнения (1), которое здесь строилось численно. Удобно ввести вспомогательную переменную  $\rho = \text{Pe} \cdot r/2$  и использовать периодичность искомой функции  $\rho(\varphi)$ . Тогда задача сводится к уравнению

$$F(\rho, \varphi) = \text{Pe} \exp(-\rho \cos \varphi) K_0(\rho) - q \int_{-\pi}^{\pi} Y d\varphi - \pi(1-q) = 0, \quad (3)$$

где  $Y \equiv (\rho'_1 \sin \varphi_1 + \rho_1 \cos \varphi_1) \exp(\rho_1 \cos \varphi_1 - \rho \cos \varphi) \times K_0(\sqrt{(\rho \cos \varphi - \rho_1 \cos \varphi_1)^2 + (\rho \sin \varphi + \rho_1 \sin \varphi_1)^2})$ .

Функция  $Y$  при  $\varphi = \varphi_1$  имеет интегрируемую особенность, так как  $K_0(z) \approx \ln(z/2)$  при  $z \rightarrow 0$ , и окрестность этой особой точки дает основной вклад в интеграл. С вариацией  $\varphi$  особая точка смещается, пробегая весь интервал  $[-\pi, \pi]$ . Это затрудняет использование фиксированной сетки для вычисления квадратур, поэтому в работе использовался метод Рунге — Кутта с автоматическим выбором шага.

Алгоритм решения принят следующий. Выбирался некоторый начальный вид функции  $\rho_0(\varphi)$ , вычислялась невязка  $F_0 = F[\rho_0(\varphi),$

$\varphi]$  и отдельно функция  $G_0 = q \int_{-\pi}^{\pi} Y d\varphi_1 + \pi(1 - q)$ .

Далее методом секущих решалось трансцендентное уравнение  $\text{Re} \exp(-\rho \cos \varphi) K_0(\rho) = G_0(\varphi)$  и определялось следующее приближение  $\rho_1(\varphi)$ . Если воспользоваться последним уравнением для процедуры простых итераций, то при больших  $\text{Re}$  нет сходимости из-за колебательной раскачки при  $\varphi$ , близких к  $\pi$ . Поэтому вычислялась невязка  $F_1$  и следующие приближения находились по формуле секущих

$$\rho_{n+1}(\varphi) = \rho_n(\varphi) + F_n(\varphi)[\rho_n(\varphi) - \rho_{n-1}(\varphi)]/[F_{n-1}(\varphi) - F_n(\varphi)].$$

Это нестандартная процедура секущих, так как вместо полной матрицы Фреше используется только ее главная диагональ. В данном случае такая модификация оправдана в силу преобладания из-за особенности диагональных членов. Сходимость фиксировалась, когда максимум модуля невязки не превышал 0,01.

На рис. 3 представлены результаты численных расчетов при  $q = 0,2$  и указанных на кривых значениях  $\text{Re}$ . С ростом  $\text{Re}$  капля вытягивается, причем кормовая ее часть заостряется, а лобовая уплощается. Штриховой линией показана предельная толщина при  $\text{Re} \rightarrow \infty$ . Если при фиксированном  $\text{Re}$  увеличивать  $q$ , то капля также вытягивается, но лобовая часть ее намного увеличивается, оставаясь конечной при  $q \rightarrow 1$ . На рис. 4 представлены результаты расчетов формы капли расплава при  $\text{Re} = 10$  и различных  $q$ . При этом лобовая часть изображена в системе координат, связанной с каплей, и приведены лишь граничные кривые  $q = 0$  и 1. Кормовая же часть представлена в неподвижной системе координат с использованием безразмерного времени  $t = x(1-q)^2/\text{Re}$ , чтобы все кривые разместились на одном графике. Кормовая часть при  $q = 1$  совпадает с расчетами [9] для плоского соударения.

При  $q < 1$  времена оплавления и затвердевания, отсчитанные от момента контакта, отличаются при  $\text{Re} = 10$  от асимптотических значений  $\text{Re} \rightarrow \infty$  в третьих знаках. Лобовая часть оплавленной зоны с ростом  $\text{Re}$ ,

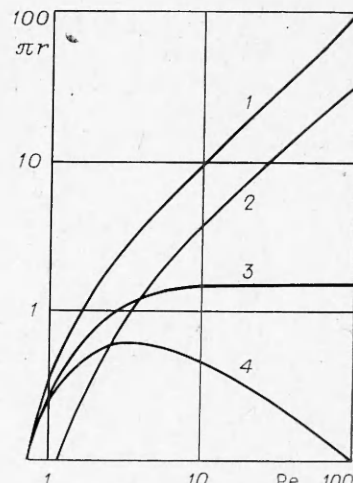


Рис. 2.

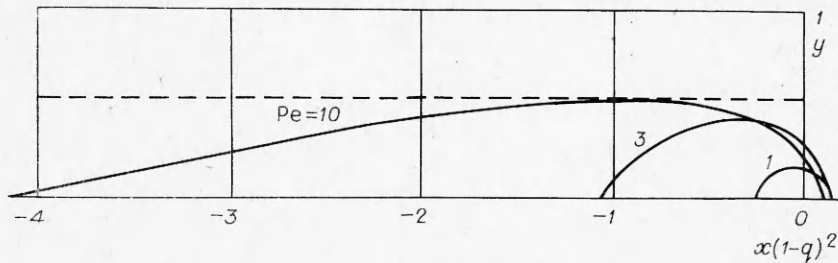


Рис. 3.

вообще говоря, сокращается, но в реальной ситуации, когда тепловыделение происходит в конечной области, где наблюдаются интенсивные пластические деформации, масштаб оплавленной зоны впереди точки контакта остается конечным при  $Re \rightarrow \infty$ , составляя десятые доли от максимальной ширины зоны.

Расчеты с учетом конечности области тепловыделения более трудоемки, поскольку требуют вычисления двумерных интегралов. В уравнении (1) первый член в левой части следует заменить интегралом

$$Re \int_0^{2\pi} d\varphi_1 \int_0^{\infty} f(\rho_1) \exp(\rho_1 \cos \varphi_1 - \rho \cos \varphi) K_0(\rho_{01}) \rho_1 d\rho_1,$$

$$\rho_{01} = \sqrt{(\rho_1 \cos \varphi_1 - \rho \cos \varphi)^2 + (\rho_1 \sin \varphi_1 - \rho \sin \varphi)^2},$$

где  $f(\rho_1)$  — функция распределения тепловыделения, которая здесь принималась гауссовой;  $f = 1/\pi\rho_0^2 \exp[-(\rho/\rho_0)^2]$ . Величина  $\rho_0$  определяет размер области тепловыделения, при  $\rho_0 \rightarrow 0$  приходим к случаю точечного источника. Из физических соображений ясно, что  $\rho_0$  должна быть порядка ширины оплавленной зоны. При больших  $\rho_0$  оплавления вообще не произойдет, так как температуры будут ниже критических, но  $\rho_0$  и не слишком мало, так как максимальная температура превышает критическую не более чем в 1,5—2 раза. Проведенные расчеты при  $q = 0,2$ ,  $\rho_0 = 0,5$  показали, что кромовая зона не претерпела изменений с точностью двух значащих цифр, а лобовая часть стабилизируется при  $Re \rightarrow \infty$  и примерно соответствует правой части рис. 4.

В качестве примера приведен расчет размеров оплавленной зоны для материалов: Ст. 3, использованной в экспериментах [3], меди и алюминия. Примем соответственно  $L_p = 430, 454$  и  $257$  кал/см<sup>3</sup>;  $c_p = 1,23; 0,82$  и  $0,60$  кал/(град·см<sup>3</sup>);  $T_* = 1600, 1100$  и  $600^\circ\text{C}$ ;  $T_0 = 100^\circ\text{C}$ ;  $v = 2500$  м/с;  $a = 0,1; 1,1$  и  $0,9$  см<sup>2</sup>/с. Тогда  $q = 0,19; 0,33$  и  $0,42$ ;  $Re \approx 6700, 1800$  и  $6200$ . При таких больших  $Re$  характерные времена оплавления и затвердевания, а также максимальная ширина расплавленной зоны практически совпадают (трех-четырехзначащими цифрами) со значениями  $Re = \infty$ . Поэтому при определении продольных масштабов можно использовать информацию из задачи о плоском соударении [9].

Воспользовавшись графиками зависимости толщины оплавленной зоны от времени  $\zeta(t)$  (см. рис. 3 работы [9]), получим для найденных значений  $q$  время достижения максимального размера оплавленной области  $t = \tau_n$  (абсциссы точек максимумов соответствующих кривых  $\zeta(t)$ ), время затвердевания области  $t = \tau_s$  (при  $\zeta = 0$ ) и максимальный размер оплавленной области  $\zeta$  (при  $t = \tau_n$ ):  $\tau_n = 0,085; 0,080$  и  $0,070$ ,  $\tau_s = 0,41; 0,45$  и  $0,51$ ;  $\zeta_n = 0,52; 0,56$  и  $0,60$ . Затем из формулы  $t = x(1-q)^2/Re$  находим характерные размеры области оплавления сзади точки контакта:

$$x_n = 0,868 \cdot 10^3; 0,321 \cdot 10^3 \text{ и } 1,29 \cdot 10^3; x_s = 4,19 \cdot 10^3; 1,80 \cdot 10^3 \text{ и } 9,40 \cdot 10^3.$$

Характерный размер области оплавления впереди точки контакта находится следующим образом. Из графиков рис. 4, построенных для  $Re = 10$ , видно, что для разных  $q$  размер предрасплавленной зоны почти одинаков. Расчеты, проведенные для различных  $Re$ , свидетельствуют о том, что это справедливо и для больших  $Re$ . Следовательно, для определения

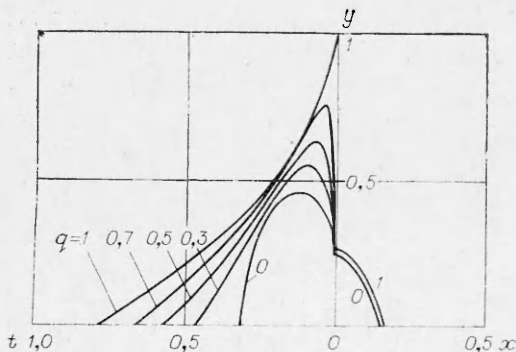


Рис. 4.

размера области предрасплавления можно ограничиться расчетом при  $q=0$ . Для этого случая  $z$  определяется уравнением  $\sqrt{\pi}/(2z)e^{-2z} = \pi/\text{Pe}$ , а по  $z$  находим  $x_{\text{пп}}$  из  $\text{Pe} \cdot z/2 = z$ :  $x_{\text{пп}} = 1,08 \cdot 10^{-3}, 3,36 \cdot 10^{-3}$  и  $1,16 \cdot 10^{-3}$ . Умножая на масштаб  $\delta$  (для  $Q = 8$  кал/см<sup>2</sup>,  $\delta = 1,72 \cdot 10^{-3}, 2,40 \cdot 10^{-3}, 6,48 \cdot 10^{-3}$  см), получаем характерные размеры области расплава — длину капли сзади точки контакта  $x_3 = 7,21; 4,32$  и  $60,91$  см, длину капли впереди точки контакта  $x_{\text{пп}} = 1,86 \cdot 10^{-6}; 8,04 \cdot 10^{-6}$  и  $7,52 \cdot 10^{-6}$  см, абсциссу максимального поперечного размера капли и половину максимального поперечного размера ( $x_n; y_n$ ) =  $(1,49; 0,89 \cdot 10^{-3}), (0,77; 1,34 \cdot 10^{-3})$  и  $(8,36; 3,89 \cdot 10^{-3})$  см. Малые размеры области предрасплавления, полученные при больших  $\text{Pe}$ , объясняются принятой моделью точечного источника тепла. В реальной ситуации эта область будет иметь размеры «размазки» области тепловыделения.

Проведенный численный анализ позволяет сформулировать следующие выводы. Для определения времен оплавления и затвердевания и всей кромковой части зоны расплава хорошим приближением является точечный источник и модель плоского соударения. Рассмотренная здесь двумерная задача позволяет рассчитать продольные размеры зоны расплава и, в частности, ее лобовую часть перед точкой контакта, что в принципе невозможно в предыдущей модели.

*Поступила в редакцию  
24/XII 1979*

#### ЛИТЕРАТУРА

1. А. А. Дерибас. Физика упрочнения и сварки взрывом. Новосибирск, Наука, 1972.
2. В. М. Кудинов, А. Я. Коротеев. Сварка взрывом в металлургии. М., Металлургия, 1978.
3. И. Д. Захаренко. ФГВ, 1971, 7, 2, 269.
4. А. И. Михайлов, А. Н. Дремин, В. П. Фетцов. ФГВ, 1976, 12, 4, 594.
5. G. Cowan, A. Holtzman. J. Appl. Phys., 1963, 34, 4, 928.
6. И. Д. Захаренко, Т. М. Соболенко. ФГВ, 1971, 7, 3, 433.
7. А. С. Гельман. ФГВ, 1974, 10, 6, 898.
8. В. С. Седых, А. П. Соннов. Тр. Волгоградского политехнического ин-та, вып. 1, 1974.
9. М. С. Качан, В. Н. Штерн. ФГВ, 1979, 15, 2, 119.
10. Г. Карслу, Д. Егер. Теплопроводность твердых тел. М., Наука, 1964.

---

#### ЗАТУХАНИЕ УДАРНОГО ИМПУЛЬСА В СВИНЦЕ И АЛЮМИНИИ

*Н. П. Хохлов, В. Н. Минеев, А. Г. Иванов,  
В. И. Лучинин  
(Москва)*

Создание мощных лазерных систем повлекло за собой разработку способов генерации механических волн напряжений в твердых телах посредством воздействия излучения лазера и применение их для исследования ряда вопросов, связанных с поведением материалов при динамических нагрузках.

Непосредственное воздействие мощного моноимпульса лазерного излучения на твердое вещество не позволяет получить больших уровней